

貯水池における濁度物質の流下形態について

名古屋大学 正員 ○中村 俊六
 名古屋大学 正員 尾花 昭平

[1] 緒言 本研究は、貯水池における濁度物質の貯留機構を説明することを目的として、河道部および貯水池部における濁度物質の流下形態を、実験的に考察したものである。

[2] 実験方法 実験水路は、全面透明アクリル製にて、長さ4.9mの背水領域河道部と、長さ6.0mの貯水池部とから成り、前者の境界は30cmの段落ちによって水深が急変する。水路中は両者共に30cmであり、河道部始点には流量測定用の10センチメートルリユームが、貯水池部水路底には冷却用配管工が、それぞれ装備されている。

本実験では、各実験毎に流量を一定に保ち、 2.5×10^6 ppmのカオリン溶液500ccを10センチメートル部分に瞬間的に投入して、その流下形態を観察した。濁度測定は、段落ちの上流30cmの断面において、水路底から高さ2cmの点で10秒間隔で採水した試料および貯水池下流端の堰を越流したものを30秒間隔で採水した試料について、積分球式濁度計を用いて測定した。以下前者の濁度をC1、後者のそれをC2の記号で表わす。なお貯水池下流端の堰は、表面取水を想定して、全幅円形堰の越流方式を採用した。

[3] 河道部における濁度物質の流下形態

水路上流部に投入された濁度物質は、沈降、再浮上をともなうながら、移流・拡散される。河道部においても密度流的な挙動は全く無いわけではないが、それは顕著ではない。河道部終点断面を代表する濁度の時間変動として、C1の測定結果を示せば図-1のようである。(図の時間軸は、濁度物質投入点から採水点までの距離を平均速度で割った平均流下時間Tを時間尺として無次元化してある)

この測定結果によれば、1-7濁度は流量が大きい程大きく、濁度の減衰の低減に3割も、流量が

大きい場合ほど大きくあらわれる傾向が見られる。しかし、本実験の範囲内では、濁度の時間曲線は、ほぼ一定の形状をもつものが見ることが許される。

こうした濁度物質の移流・拡散を定量的にとらえるために、1次元拡散方程式を考慮すれば、

$$\frac{\partial C}{\partial t} + u \frac{\partial C}{\partial x} = D \frac{\partial^2 C}{\partial x^2} - \alpha C \quad (1)$$

ここで、uは平均流速、Dは拡散による効果をあらわす係数、 α は沈降による効果をあらわす係数である。

いま、地点x=0を瞬間点源として濁度物質が投入され、時刻t=0においてx=0から微小水路長さaの間の濁度がある一定濁度C0を示したとしよう。

この場合の式(1)の解は

$$C(x,t) = \frac{C_0}{2} \left\{ \Phi \left(\frac{a-x}{\sqrt{4Dt}} \right) - \Phi \left(\frac{-x}{\sqrt{4Dt}} \right) \right\} \exp(-\alpha t) \quad (2)$$

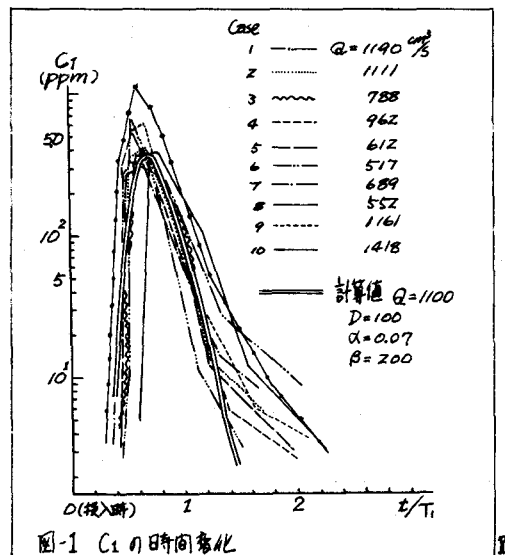


図-1 C1の時間変化

のよりにあらわされる。二に $t = x - ut$, また中は誤差関数である。

実験番号2の場合を例として, $Q = 1,100 (\text{cm}^3/\text{sec})$
 $a = u / (1 \text{ sec}) = 5.8 \text{ cm}$, $C_0 = \frac{2.5 \times 10^6 \times 500 / (1 \text{ sec})}{Q} = 1.14 \times 10^9 \text{ ppm}$
 $D = 1.0 \times 10^{-2} (\text{cm}^2/\text{sec})$, $\alpha = 0.07$ ($\omega_0 = 0.5 \text{ cm}^2/\text{sec}$) を仮定し, 流水断面の平均濃度 \bar{C} と C_1 との対応関係が $C_1 = \beta \bar{C}$: $\beta = \text{定係数}$ (200 を採用) と考えられるものとすれば, 式(2)による計算値は, 図-1に示した C_1 の測定値とよく合致する。上記の β の値は濃度の鉛直分布によるものであるから $\beta = 200$ は過大と考えられ, また式(2)は再浮上に対する考慮, あるいは $x < 0$ の領域に対する配慮が省略されてくることなど, 本問題には残す水ではあるが, この結果は, 河道部における稀釈拡散の量的評価が式(1)によって十分可能であることを示すとみてよいであろう。

[4] 貯水池部における濁度物質の流下形態

貯水池部における濁度物質の流下経路はやはり複雑であるが, 大別すればおよそ3つの経路に分類される¹¹⁾。すなわち, (i) 密度流となって濃度躍層上を前進し, 最も早く放流口下に達するもの, (ii) 段落ち終流域で拡散してほぼ平均流速で前進するもの, (iii) 段落ち直下へうつたん貯留されるもの, である。各経路における濁度 C はそれぞれ C_1, C_2 および C_3 とあらわしておけば, 放流水濁度 C_2 は

$$0 < t < T_2: C_2 = f_1(C_1)$$

$$T_2 < t < 2T_2: C_2 = f_1'(C_1) + f_2(C_2)$$

$$2T_2 < t: C_2 = f_1''(C_1) + f_2'(C_2) + f_3(C_3)$$

のよりにあらわされることに存する¹¹⁾。二に T_2 は(貯水池の長さ)/(平均流速)である。もし T_2 が密度流速および拡散速度に対して充分大きければ, f_1', f_2' および f_1'' は小さいものと考えよいであろう。

図-2は, C_2 の時間変化を示したものであるが, 上記の推論はほぼ妥当なものであることがわかる。

いま, $T_2 < t < 2T_2$ における C_2 の時間変化を, 時間軸として t/T_2 として考えれば, 式(1)におう河道部における現象との差異は沈降に関する項のみと見られる。沈降に関する係数 α は, 長関数であるから, Q により貯水池部におうは躍層までの深さが大きく変化する貯水池部におうは, 拡散に対する沈降の相対的影響は卓越するであろう。すなわち Q が大きい程, C_2 の低下可配は小さい(時間軸 t/T_2 の時) ことを予想される。図-2上部に, 流量の差異による C_2 の低下可配の差異を示したが, 二水を見るに若干の例外を除けば上記の傾向を示しており, 二水らの考察はほぼ妥当と考えられる。

[5] 本す位 以上, 河道部における濁度物質の稀釈拡散が式(1)によってある程度の量的評価が可能であることがわかった。また, 貯水池部における水はつうとも, 定性的にはその特性の一端を指摘することができた。なお量的評価については, C_1, C_3 の検討を必要とし, 以下につぎにこれらの解明を課題として研究を進展させたことを考える。

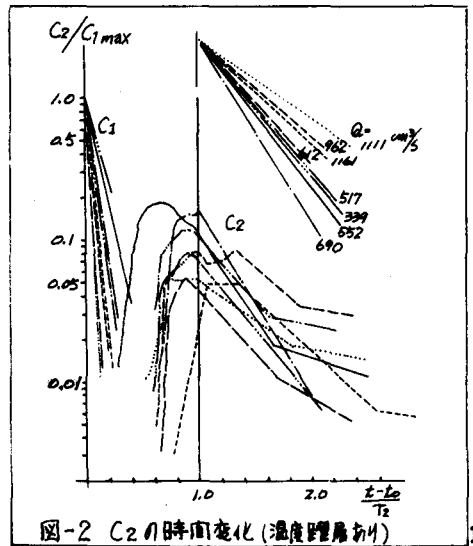


図-2 C_2 の時間変化(温度躍層あり)

[謝辞] 計算は名古屋大学大型計算機センター FACOM Z30-60 を使用, 実験経費の一部は昭和49年度文部省科学研究費の補助を受けた。末尾に感謝を怠るべきでない。

[参考文献] (1) 星と, 中村: 貯水池における濁度貯留機構について, 土木学会年報才2部, 昭和49年